

Figura 19: Espectro de ¹H RMN a 400 MHz do composto 4 em CDCl₃.

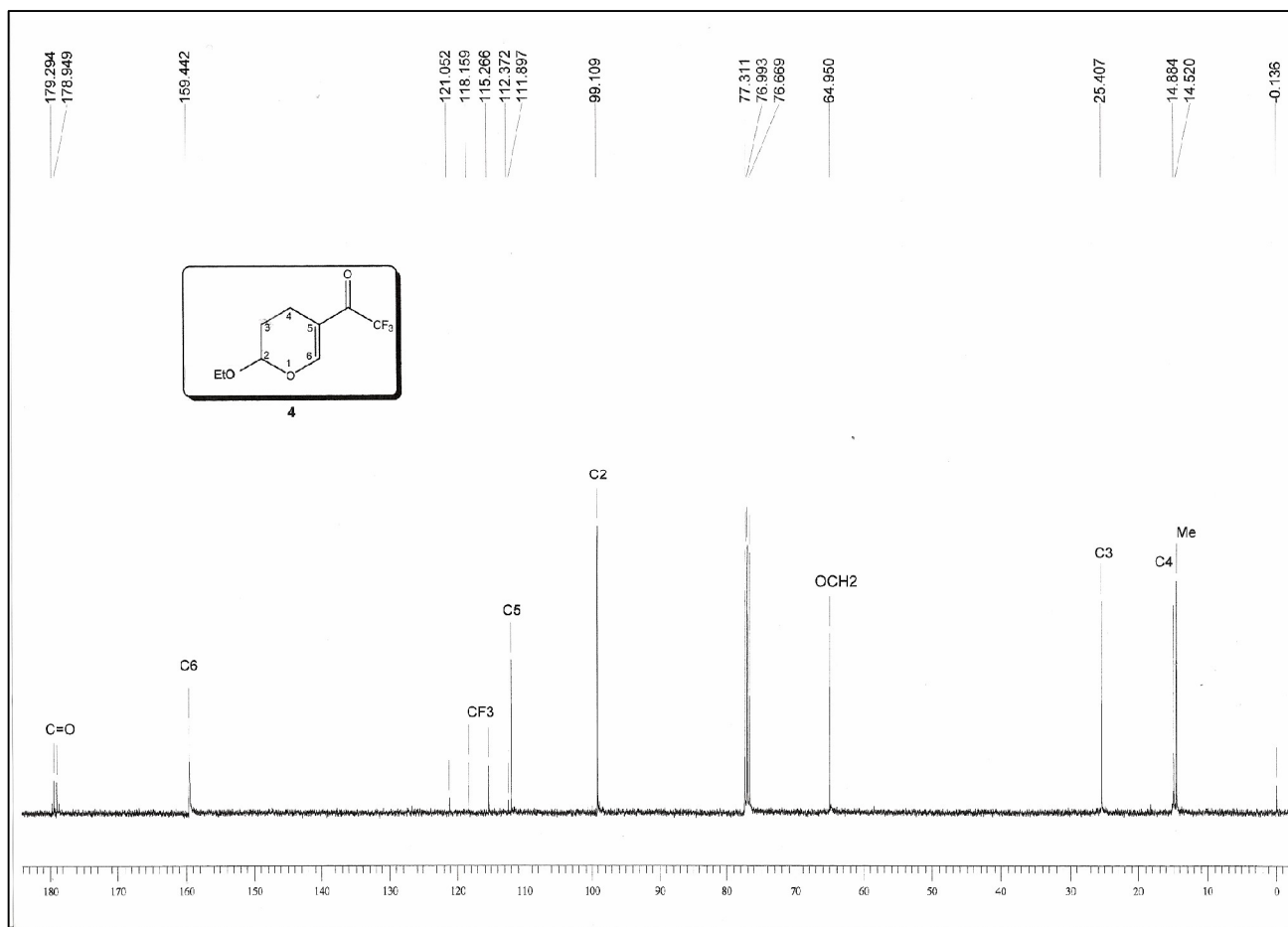


Figura 20: Espectro de ¹³C {¹H} RMN a 100 MHz do composto 4 em CDCl₃

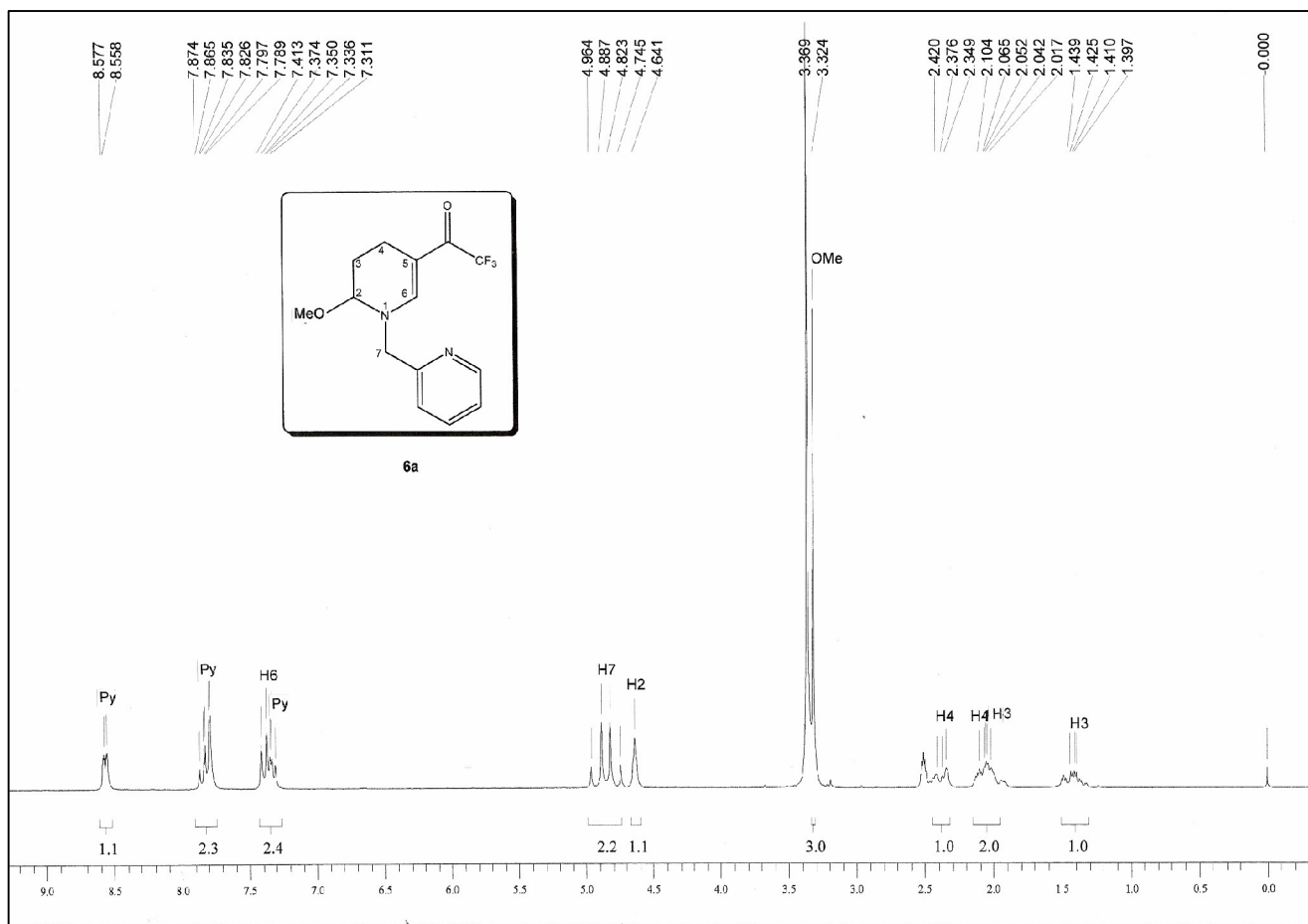


Figura 21: Espectro de ¹H RMN a 200 MHz do composto **6a** em DMSO-d₆.

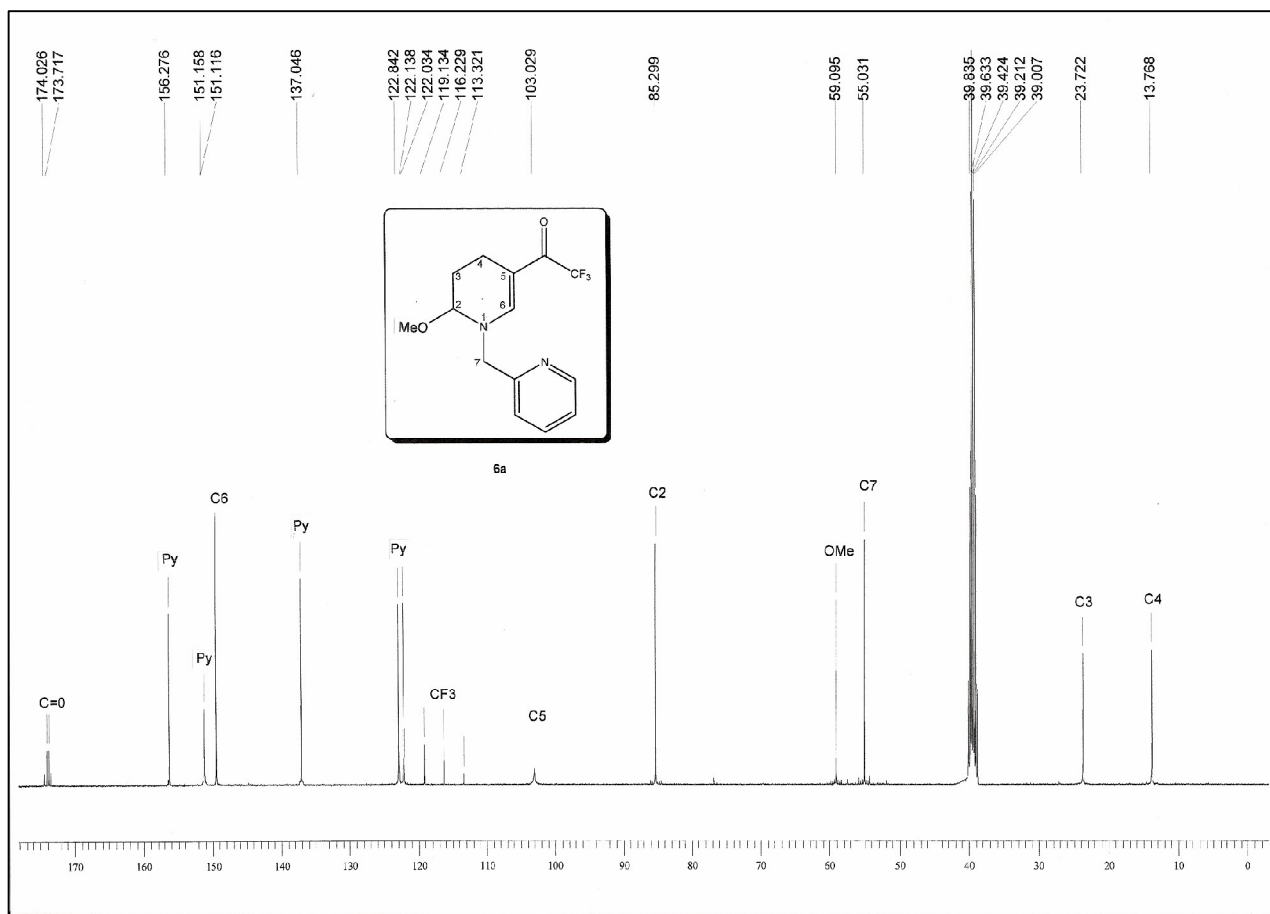


Figura 22: Espectro de $^{13}\text{C} \{^1\text{H}\}$ RMN a 100 MHz do composto **6a** em DMSO-d_6 .

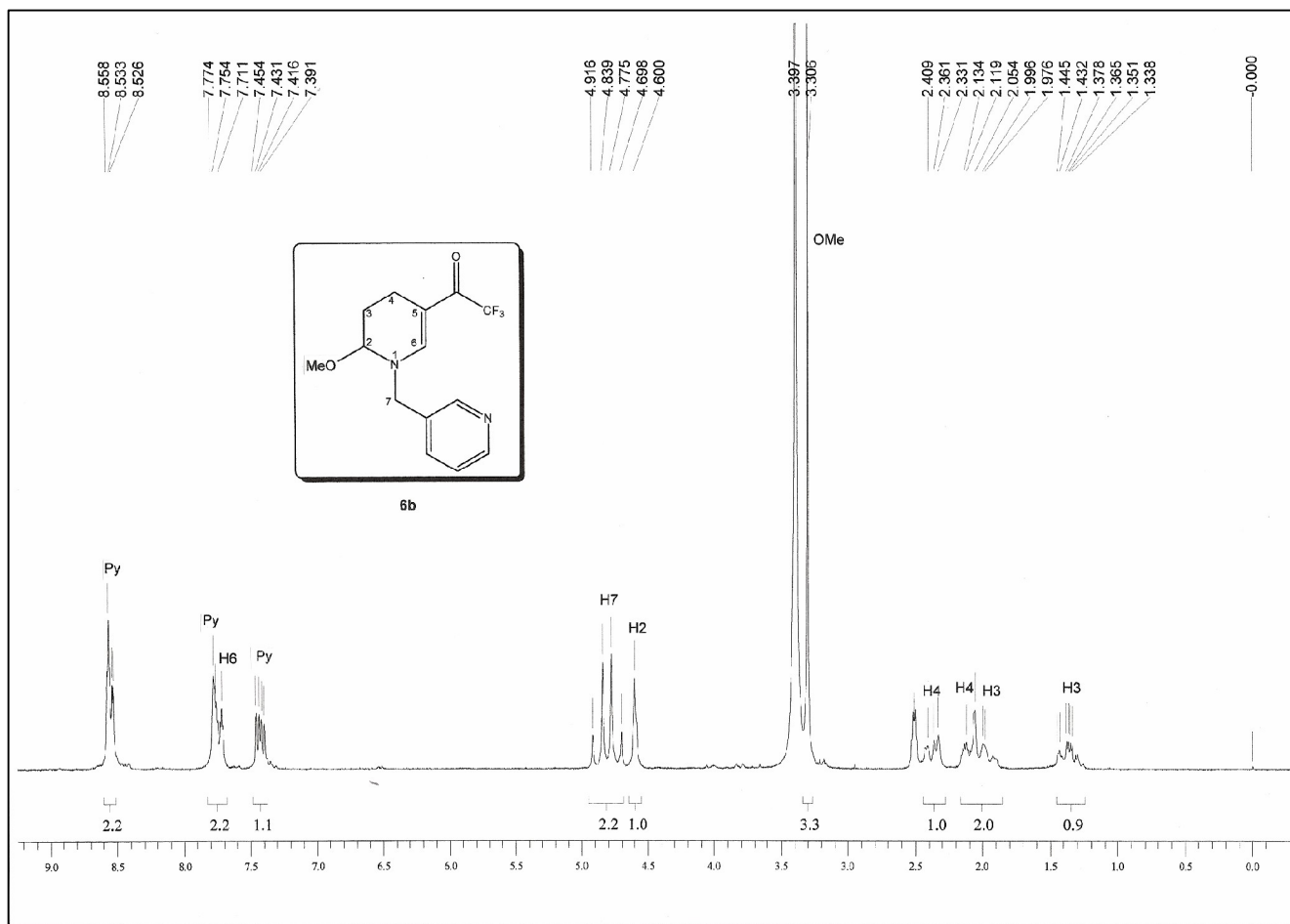


Figura 23: Espectro de ¹H RMN a 200 MHz do composto **6b** em DMSO-d₆.

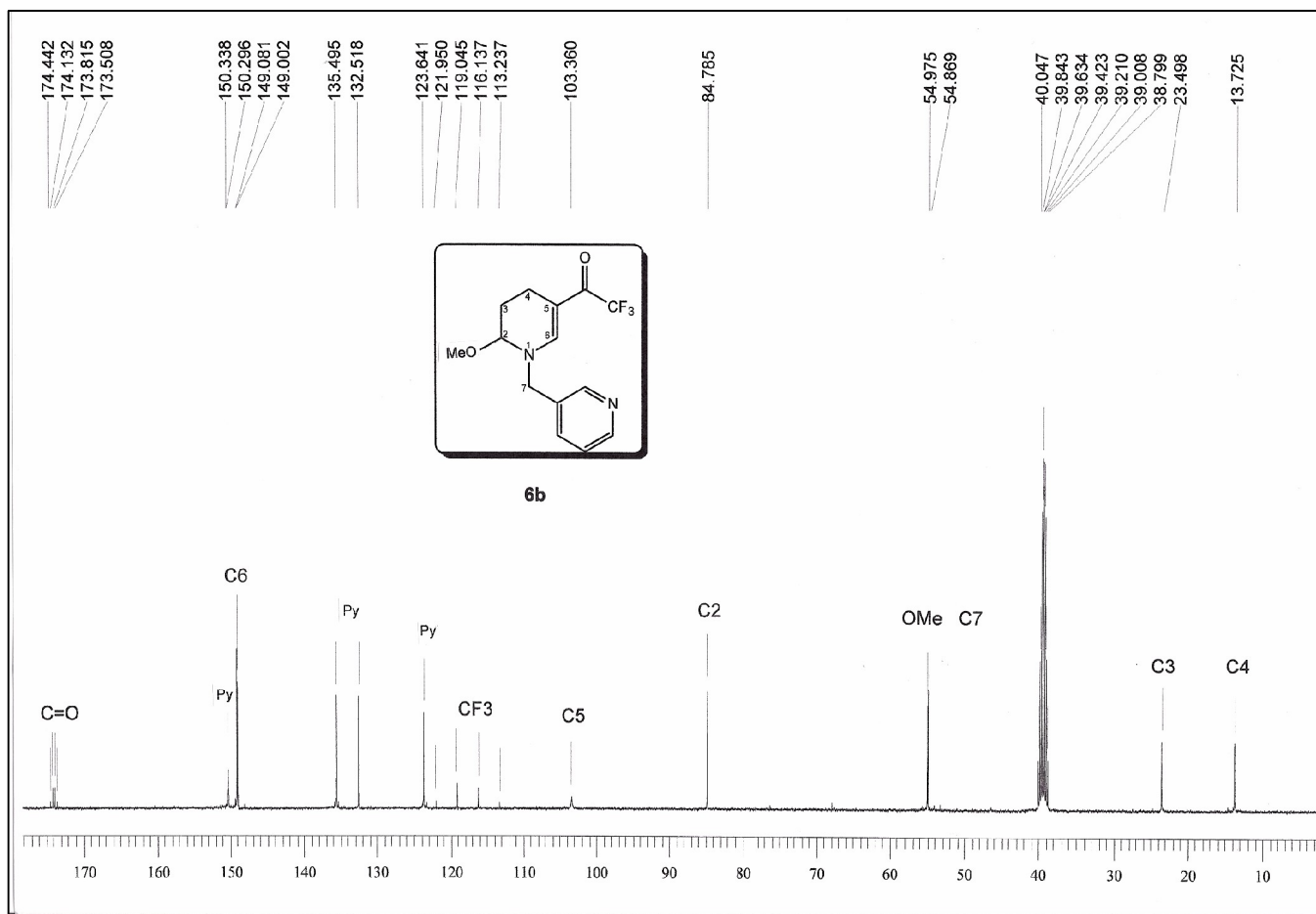


Figura 24: Espectro de ^{13}C $\{^1\text{H}\}$ RMN a 100 MHz do composto **6b** em DMSO-d_6 .

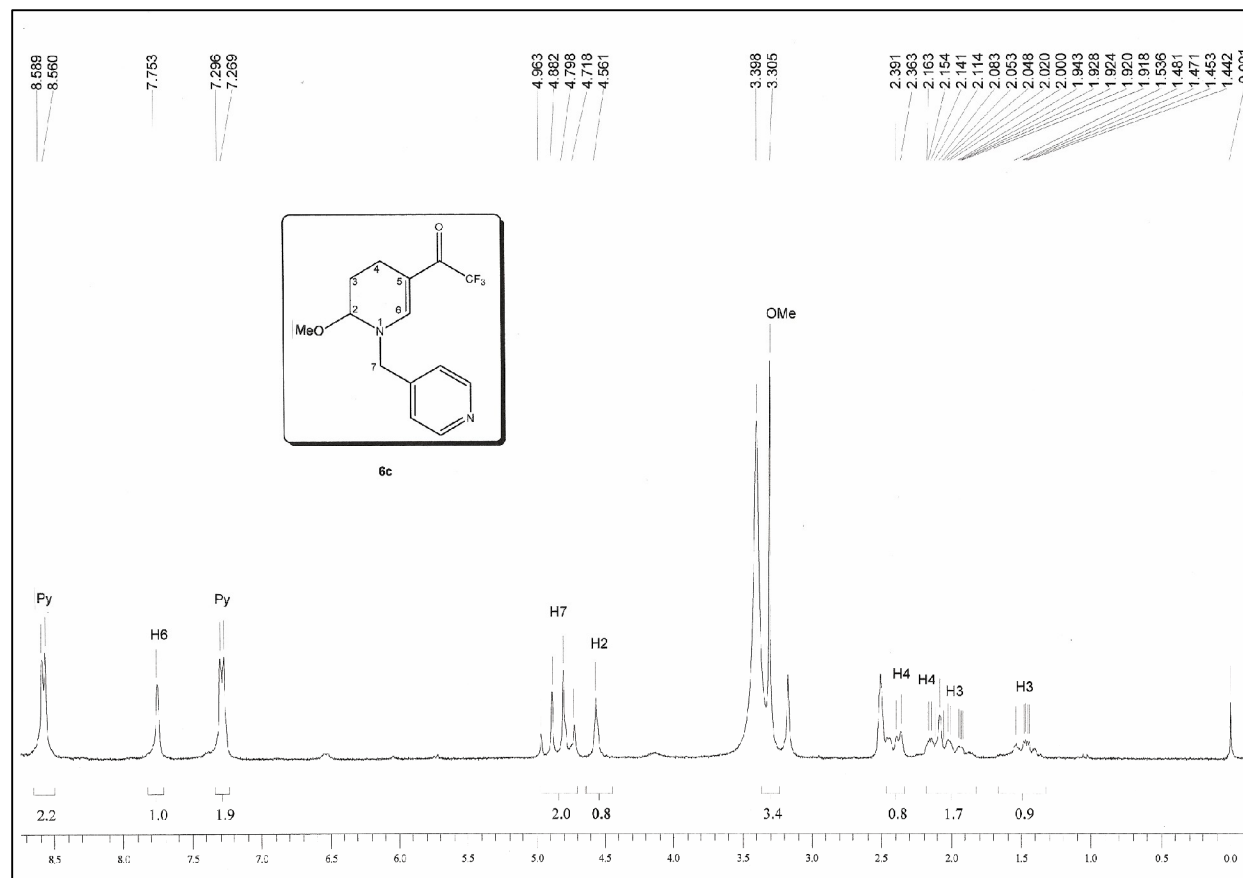


Figura 25: Espectro de ¹H RMN a 200 MHz do composto **6c** em DMSO-d₆.

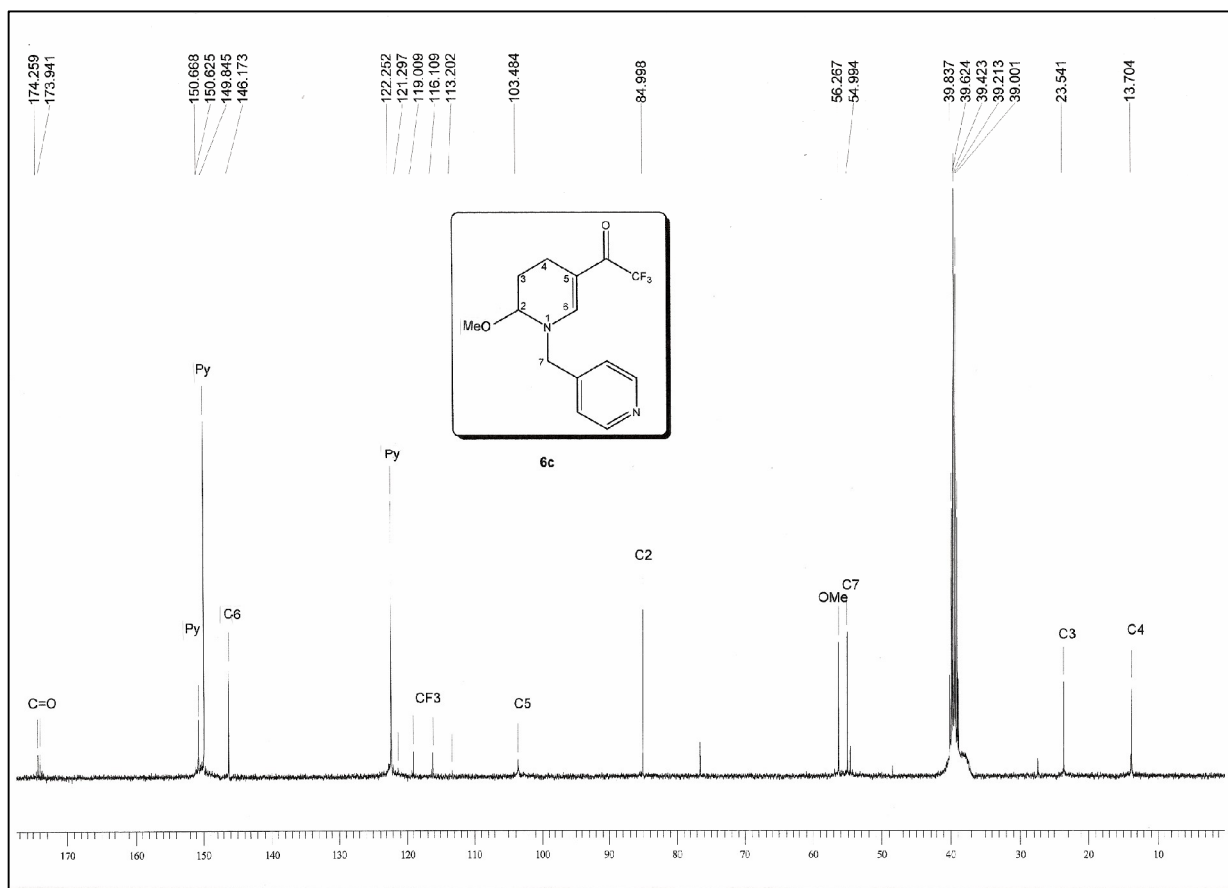


Figura 26: Espectro de ^{13}C $\{^1\text{H}\}$ RMN a 100 MHz do composto **6c** em DMSO-d_6 .

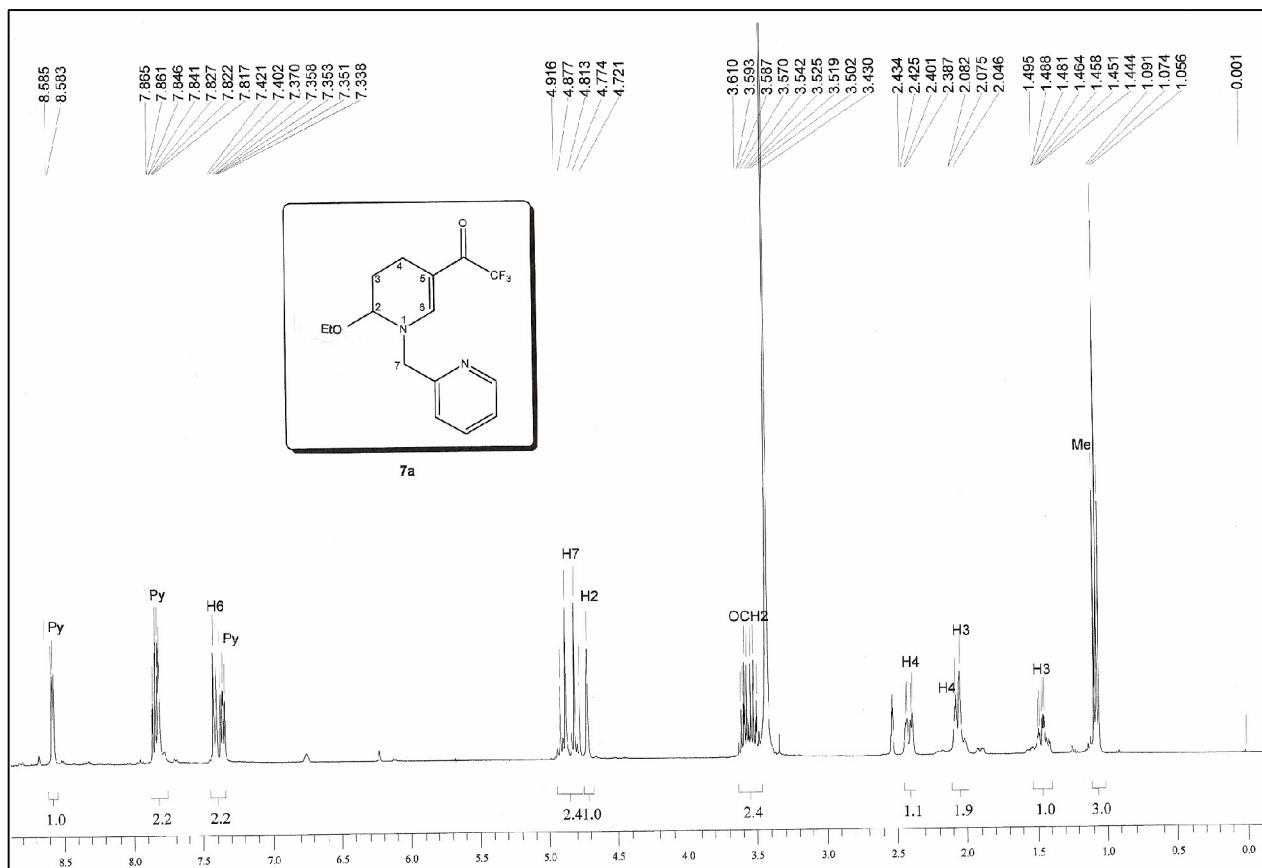


Figura 27: Espectro de ^1H RMN a 400 MHz do composto **7a** em DMSO-d_6 .

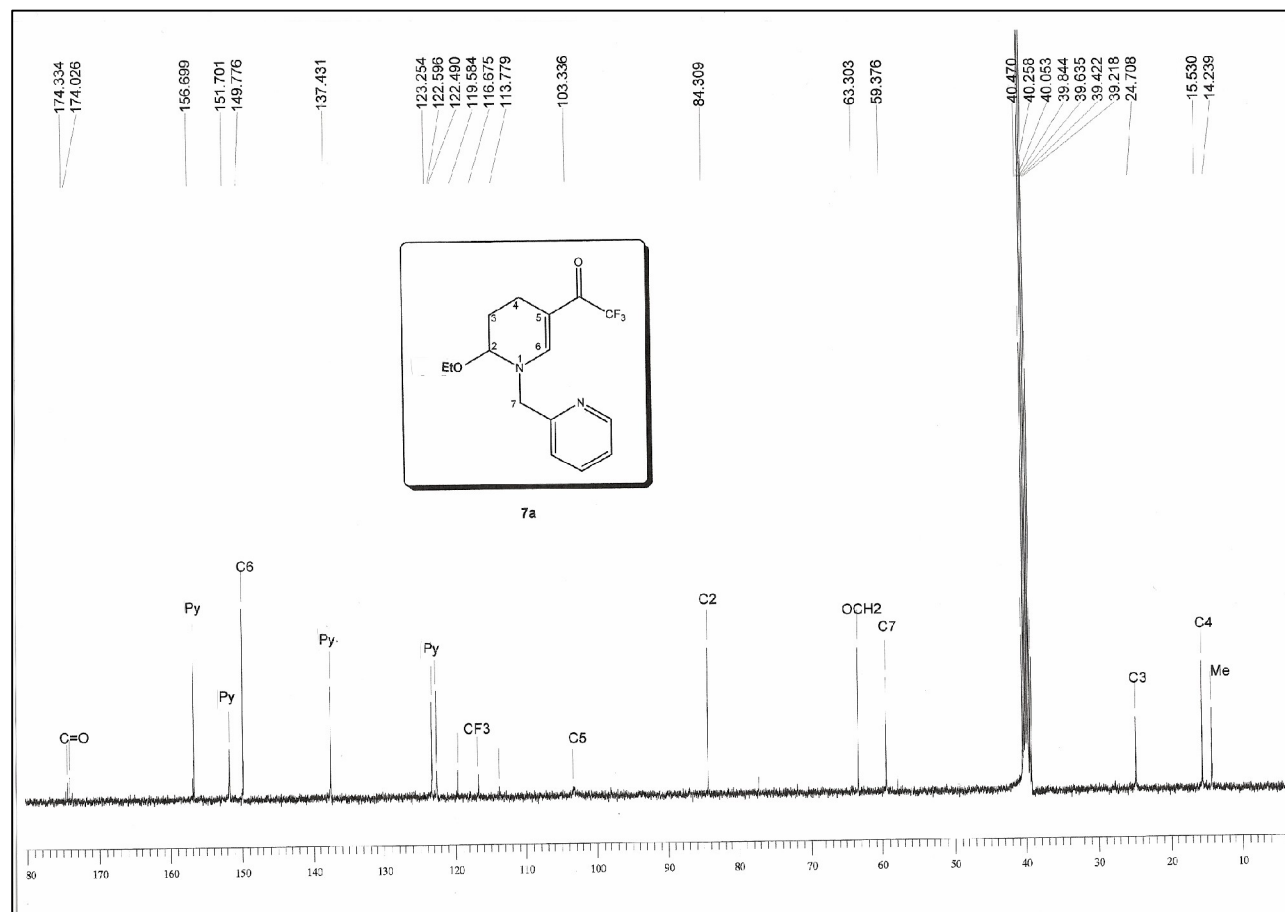
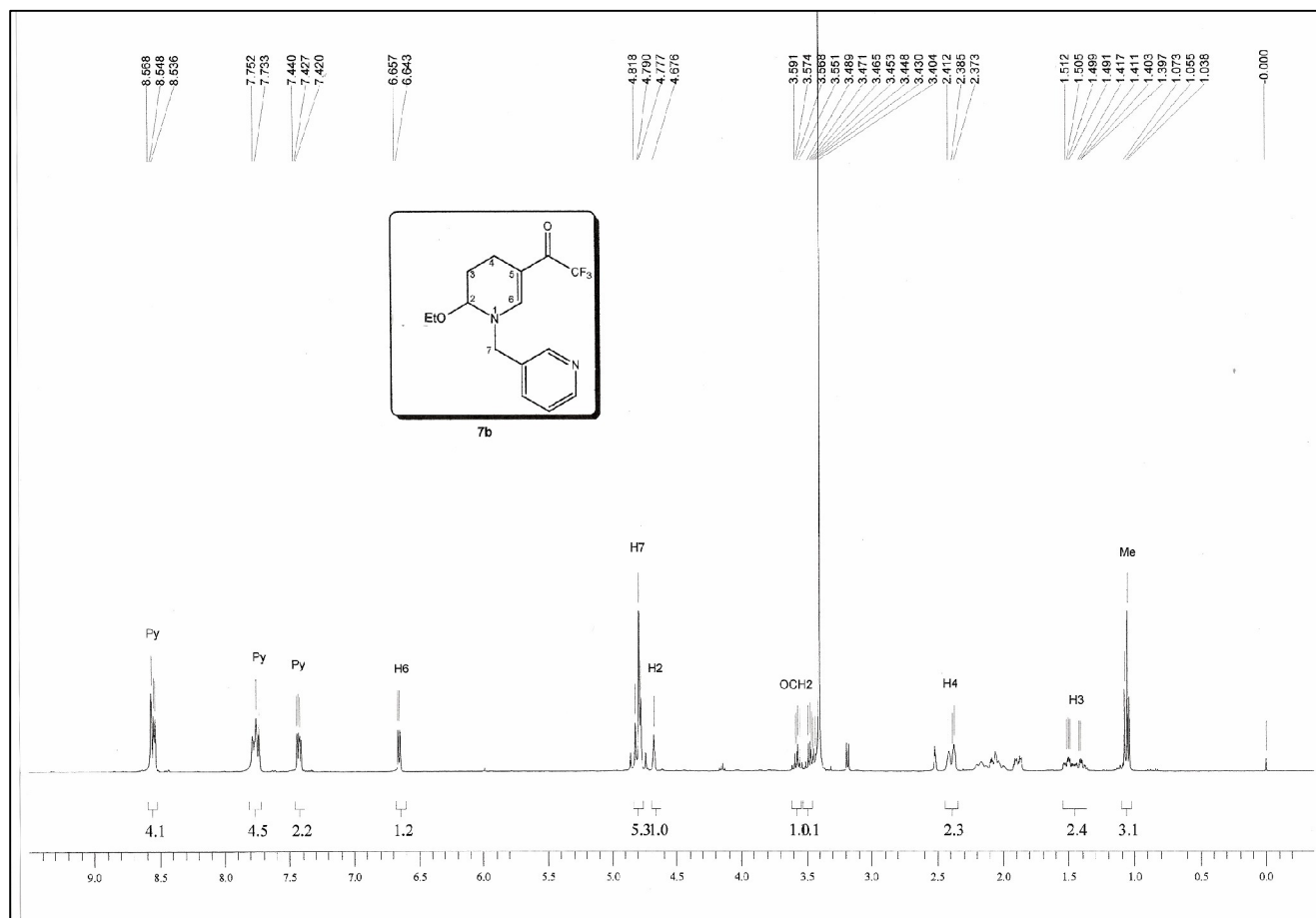


Figura 28: Espectro de $^{13}\text{C} \{^1\text{H}\}$ RMN a 100 MHz do composto **7a** em DMSO-d_6 .



. Figura 29: Espectro de ¹H RMN a 400 MHz do composto **7b** em DMSO-d₆.

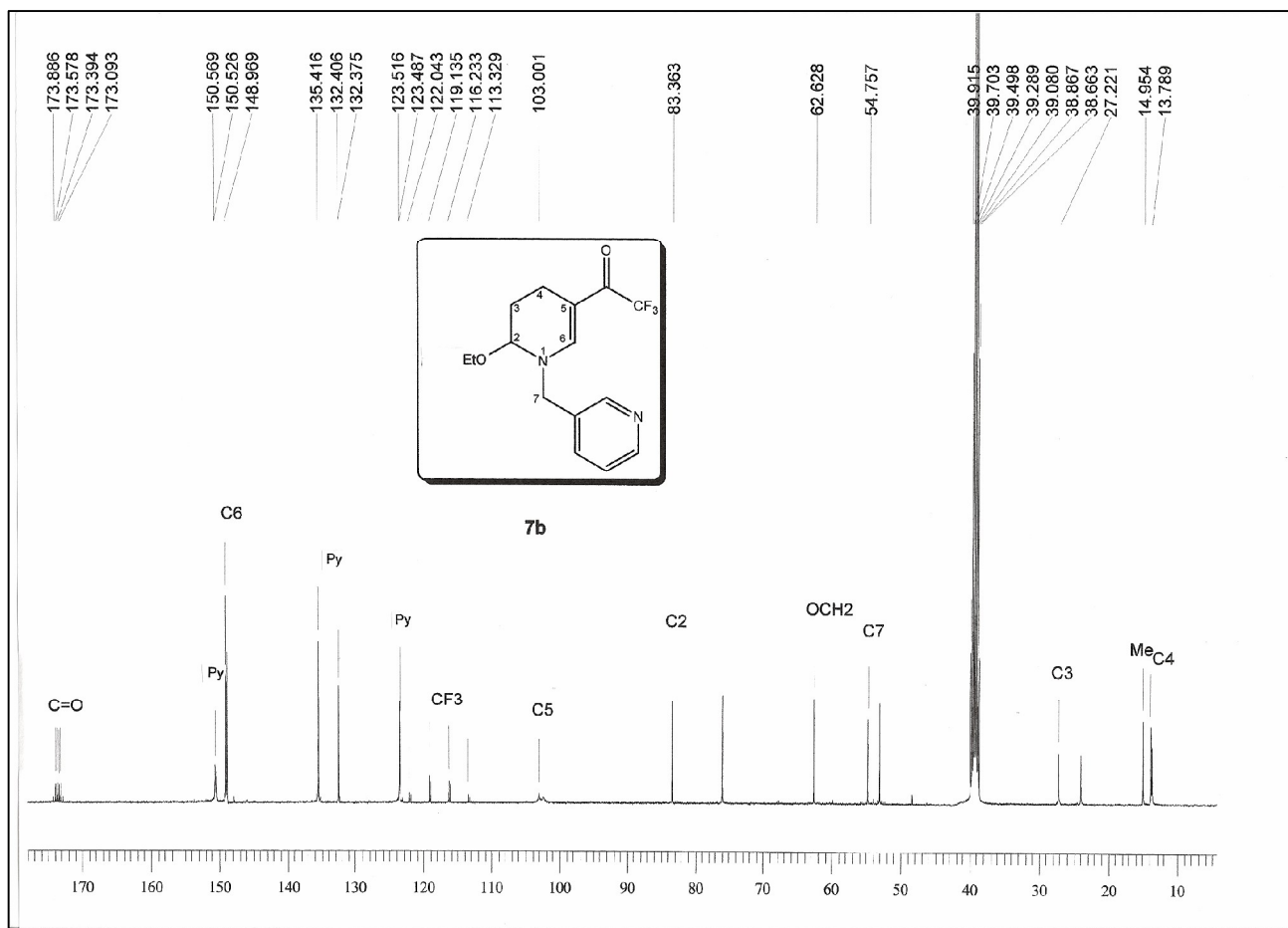


Figura 30: Espectro de ^{13}C $\{^1\text{H}\}$ RMN a 100 MHz do composto **7b** em DMSO-d_6 .

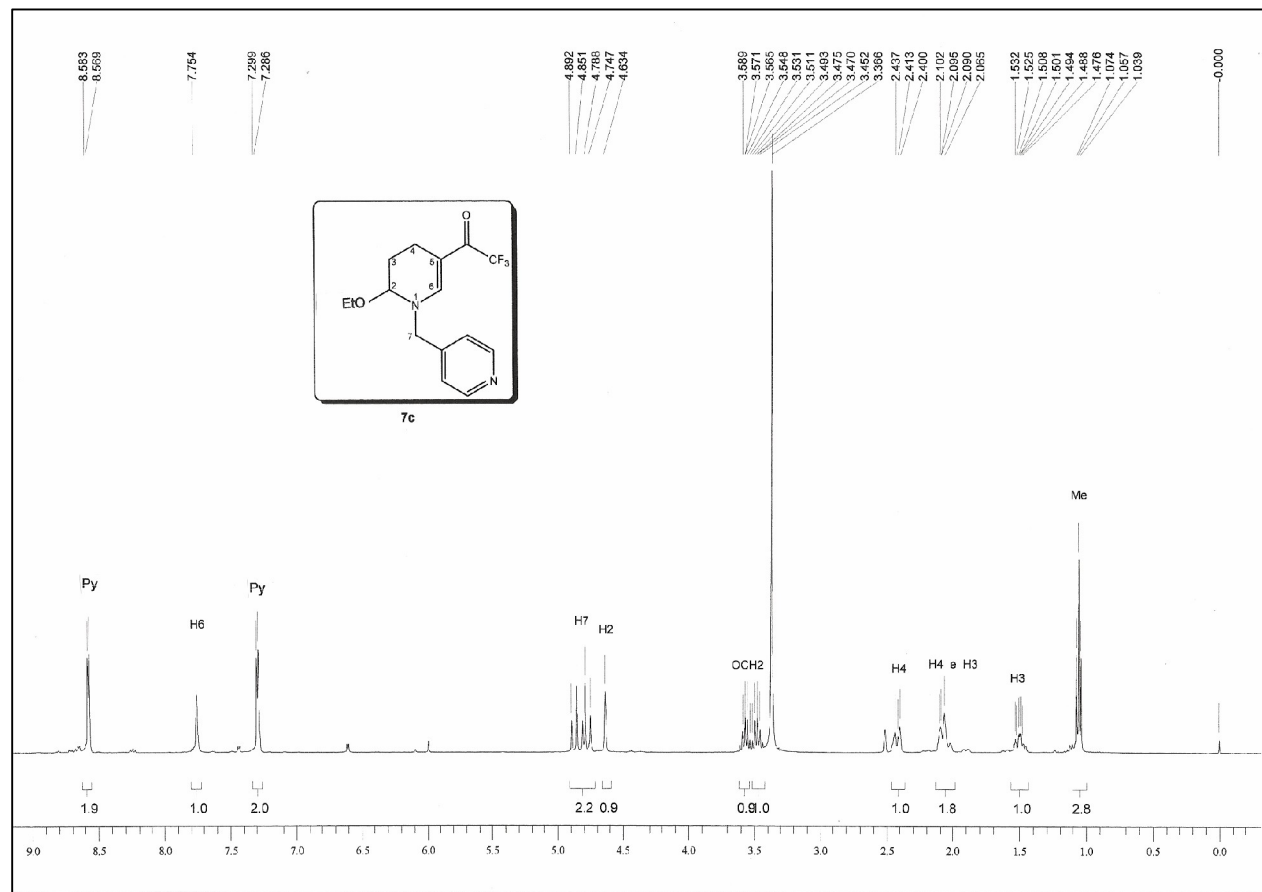


Figura 31: Espectro de ¹H RMN a 400 MHz do composto **7c** em DMSO-d₆.

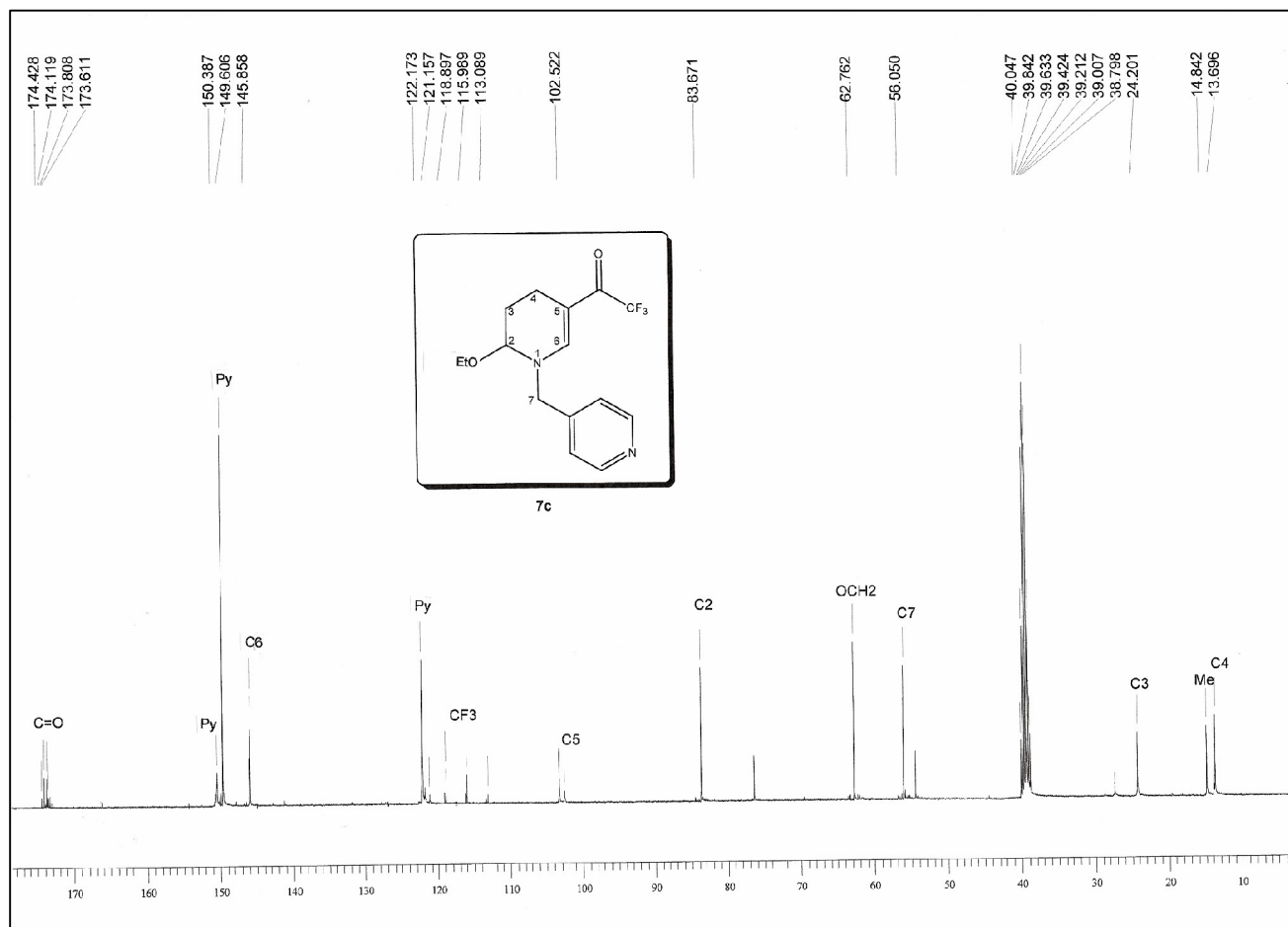


Figura 32: Espectro de ^{13}C $\{^1\text{H}\}$ RMN a 100 MHz do composto **7c** em DMSO-d_6 .

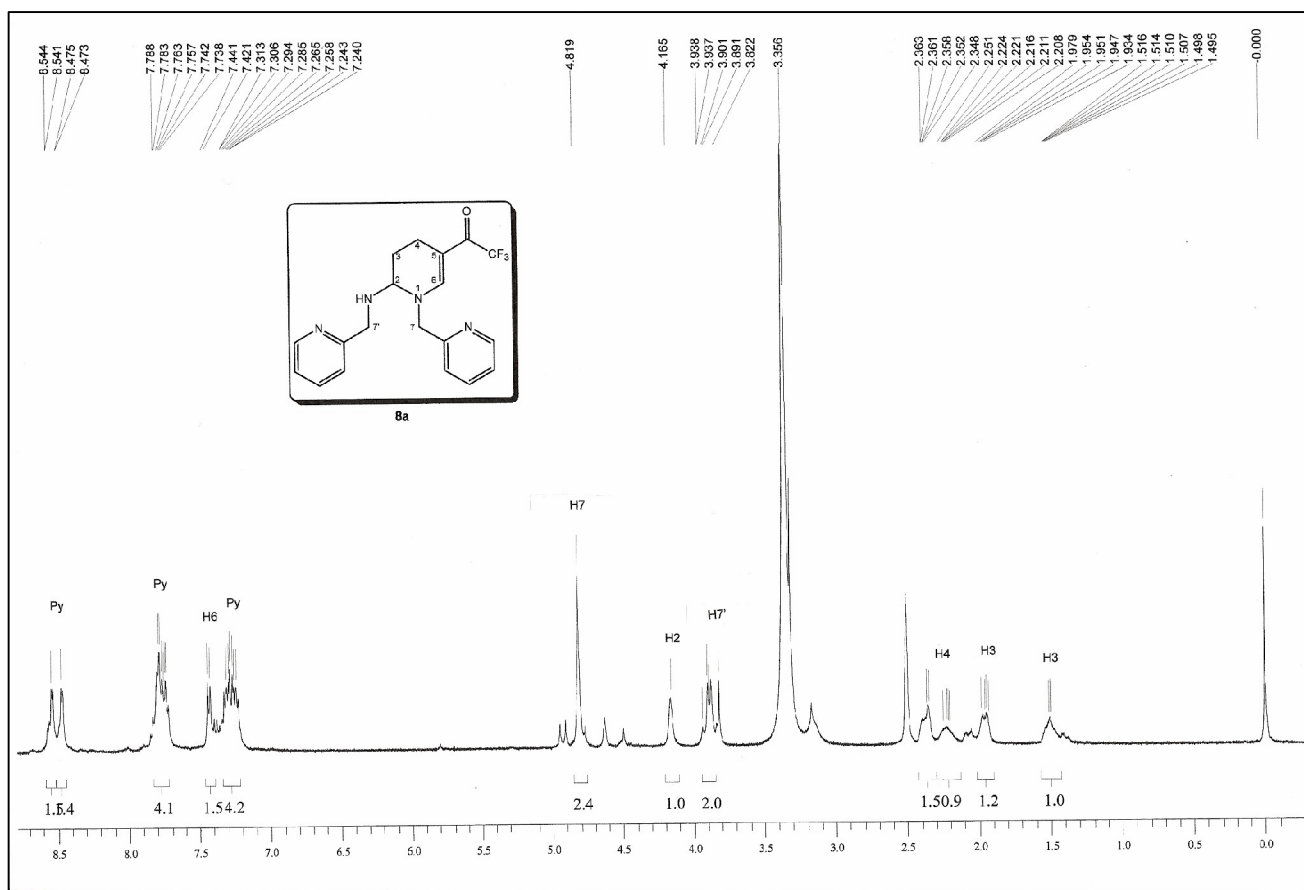


Figura 33: Espectro de ¹H RMN a 400 MHz do composto **8a** em DMSO-d₆.

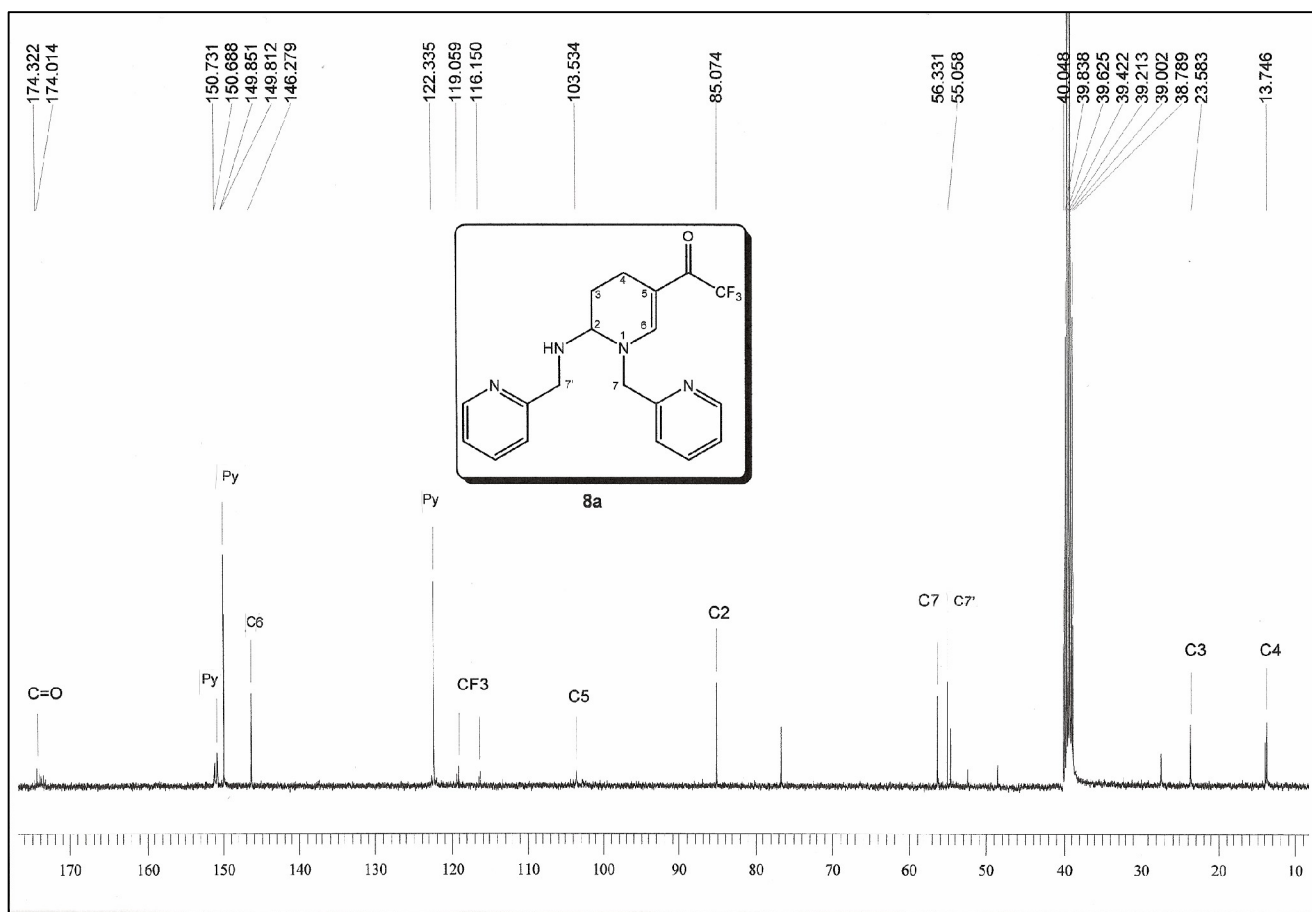


Figura 34: Espectro de ^{13}C $\{^1\text{H}\}$ RMN a 100 MHz do composto **8a** em DMSO-d_6 .

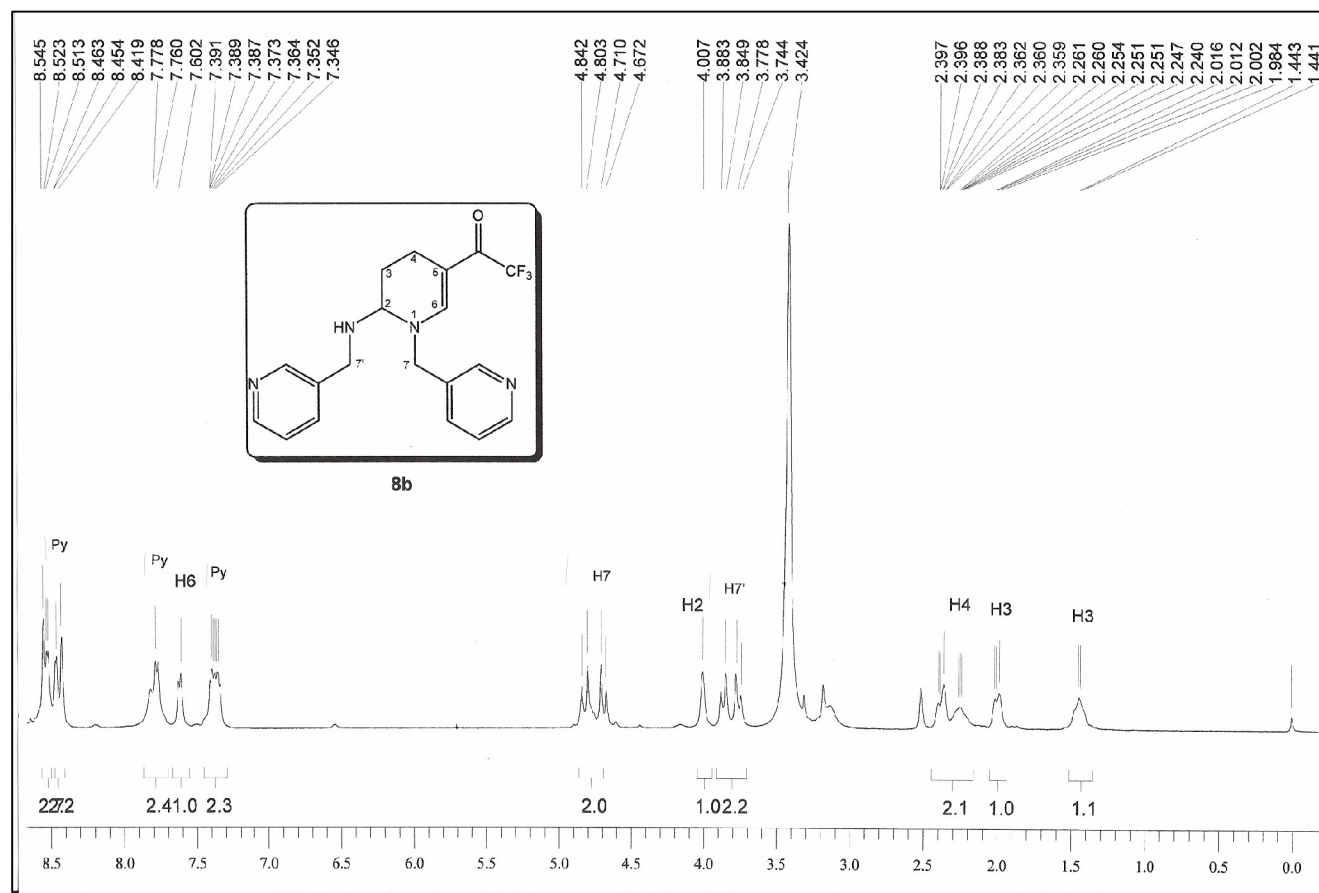


Figura 35: Espectro de ^1H RMN a 400 MHz do composto **8b** em DMSO-d_6 .

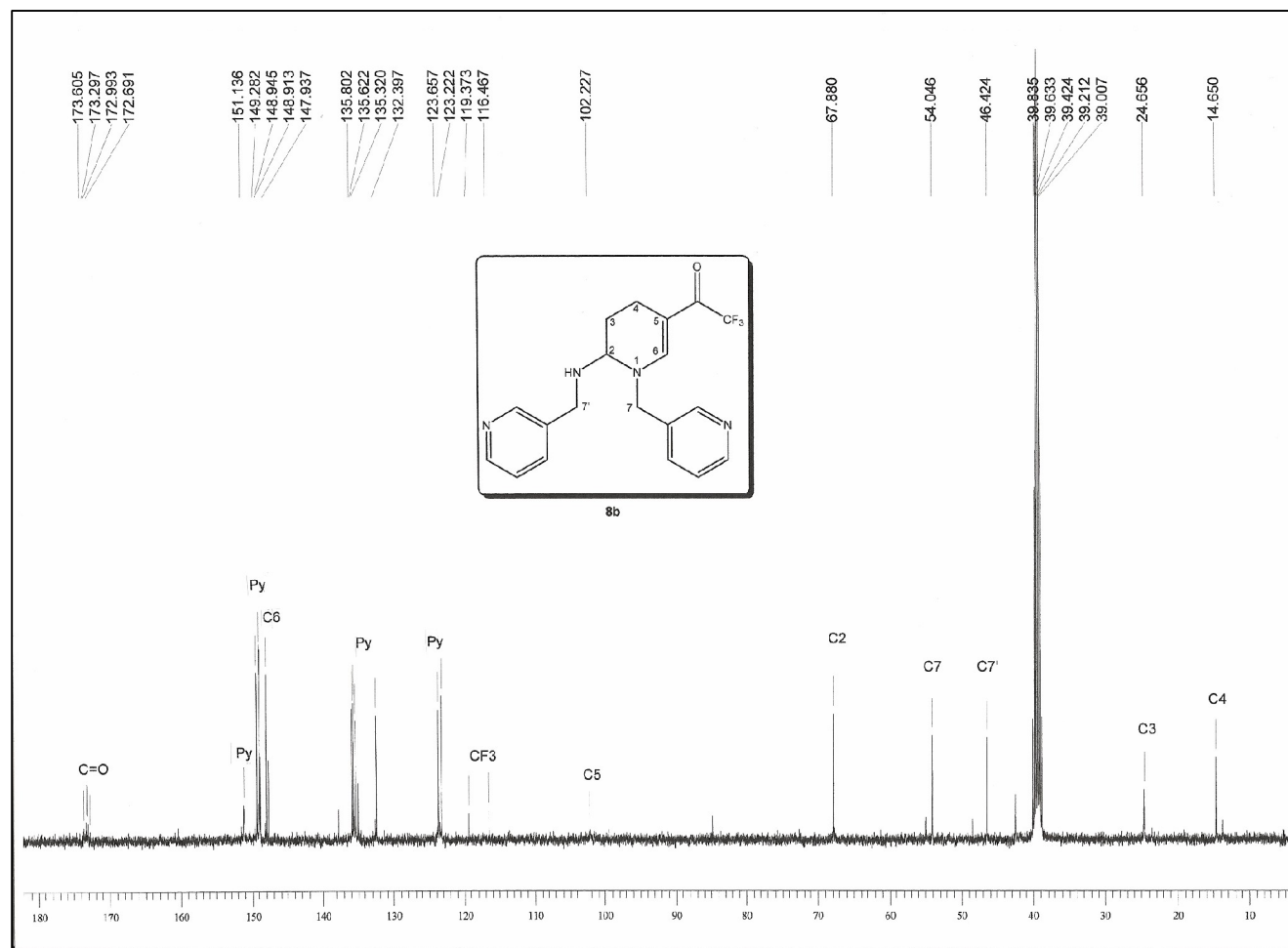


Figura 36: Espectro de ^{13}C $\{^1\text{H}\}$ RMN a 100 MHz do composto **8b** em DMSO-d_6 .

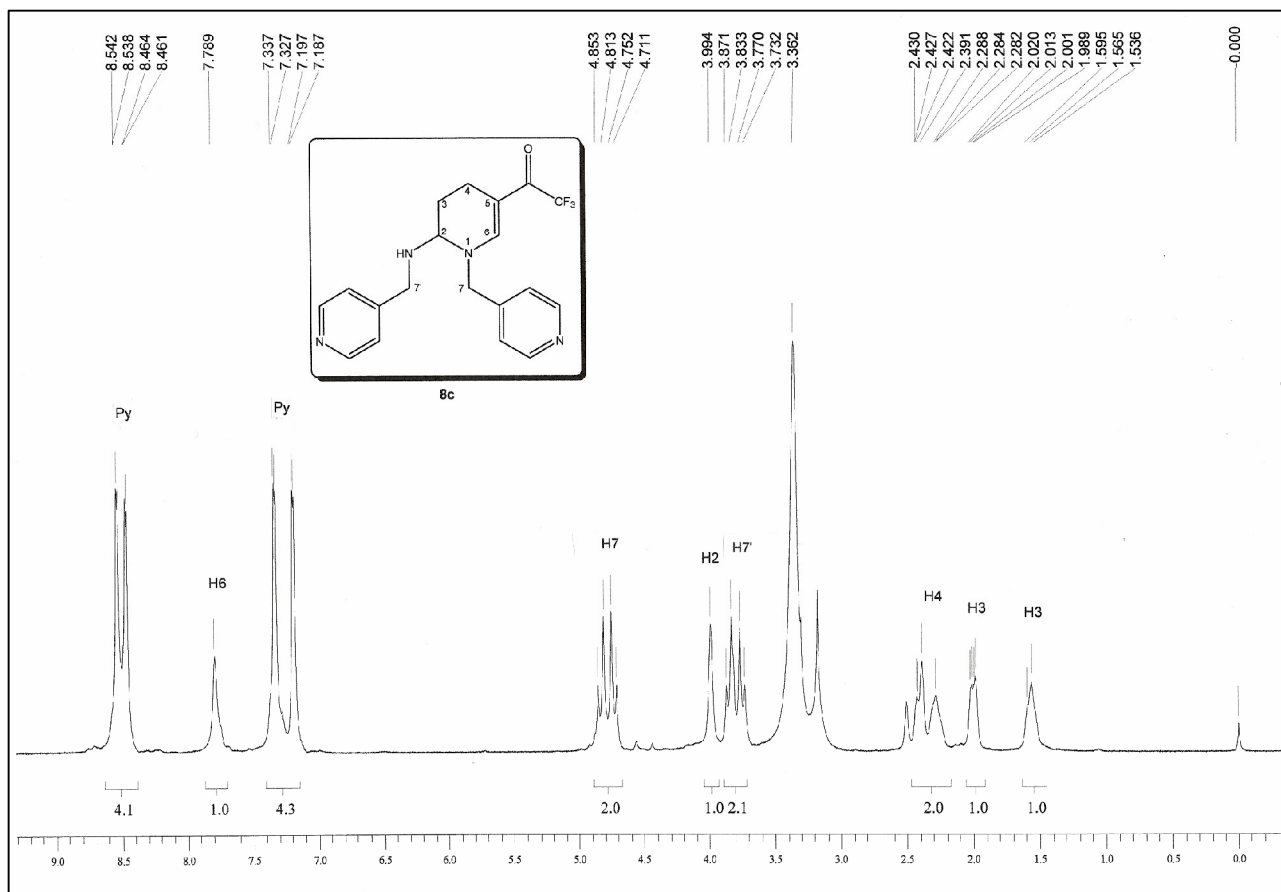


Figura 37: Espectro de ¹H RMN a 400 MHz do composto **8c** em DMSO-d₆.

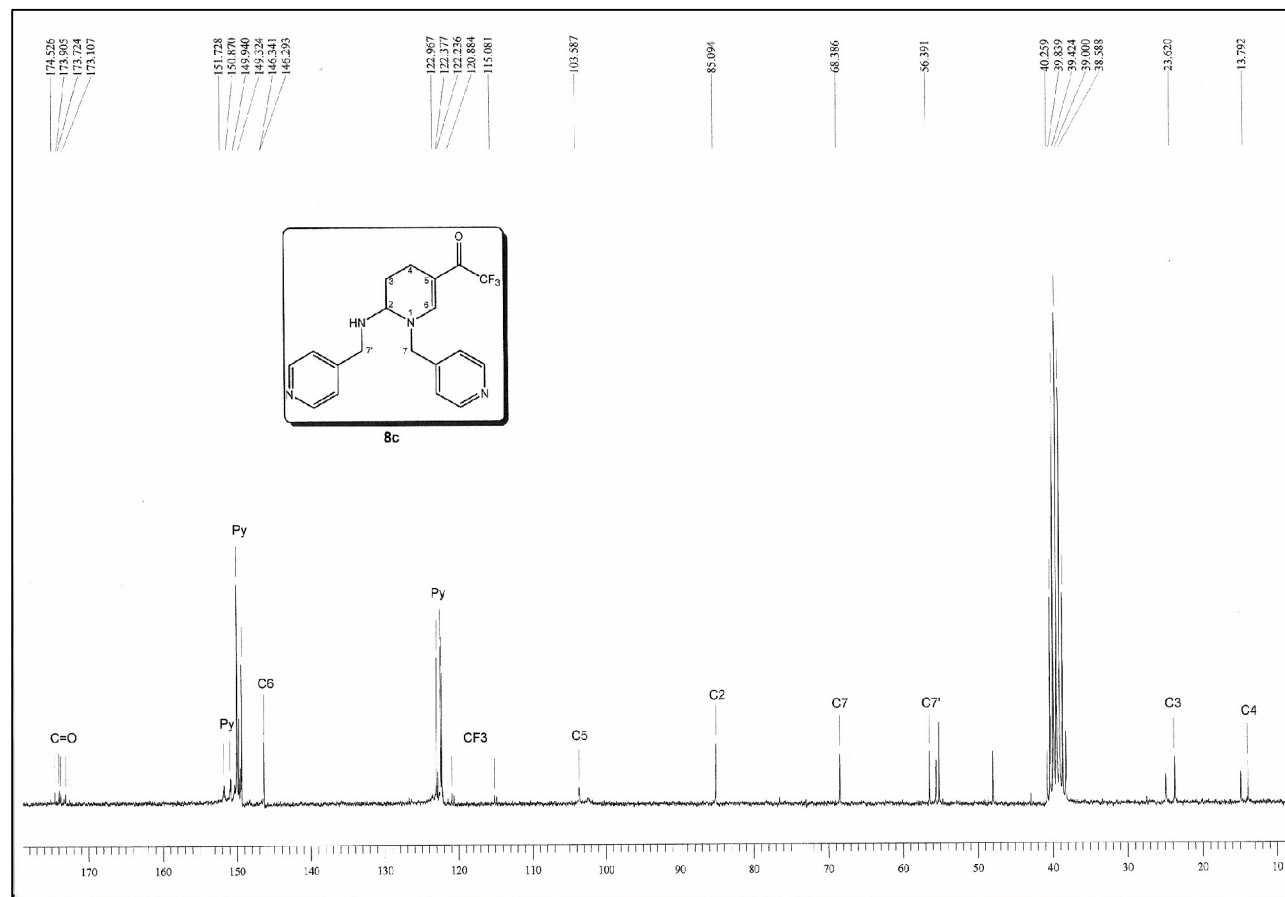


Figura 38: Espectro de $^{13}\text{C} \{^1\text{H}\}$ RMN a 50 MHz do composto **8c** em DMSO- d_6 .

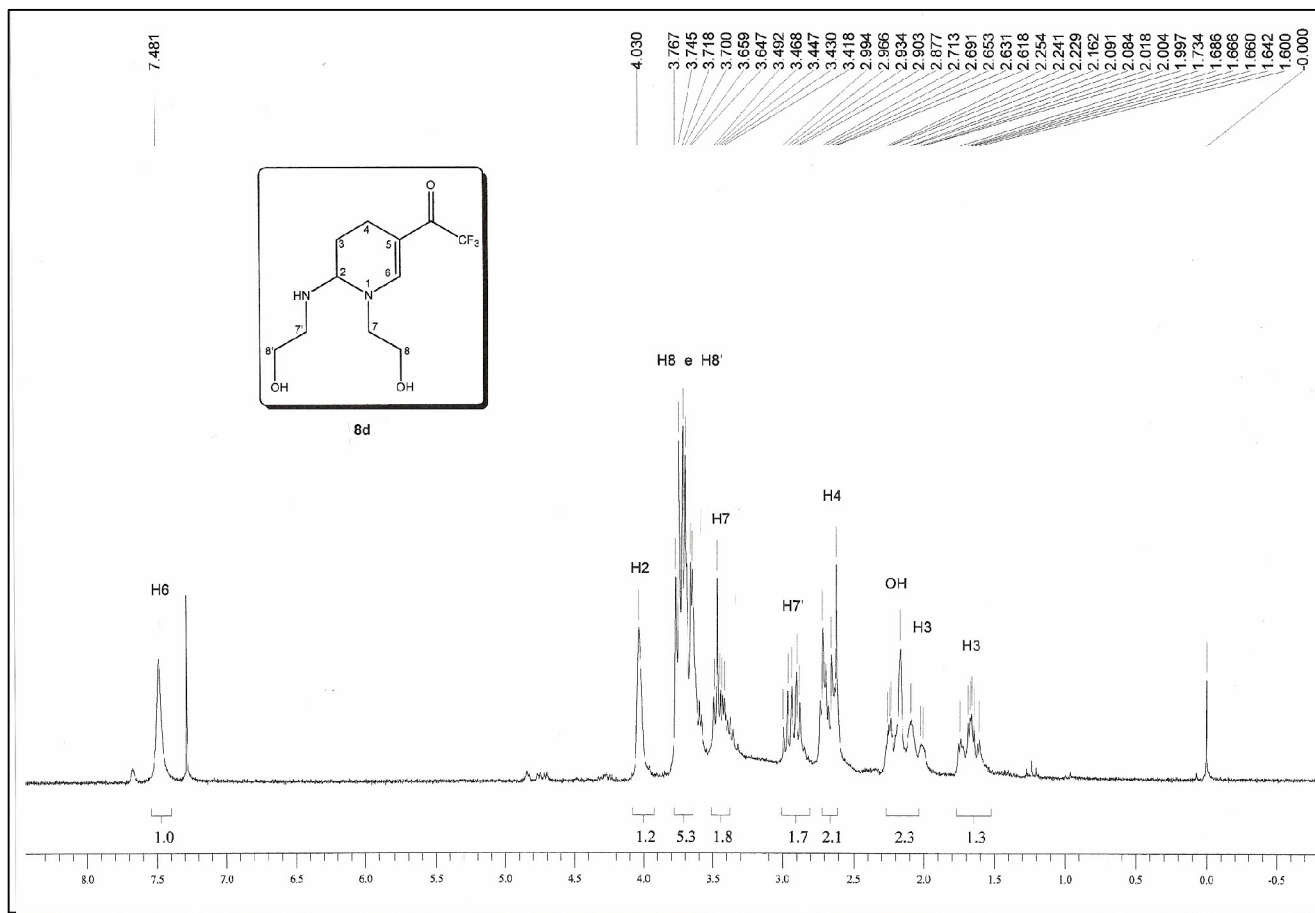


Figura 39: Espectro de ^1H RMN a 200 MHz do composto **8d** em CDCl_3 .